УЛК 550.388.2

ЗАВИСИМОСТЬ ЛОКАЛЬНОГО ИНДЕКСА ГОДОВОЙ АСИММЕТРИИ ДЛЯ МЕДИАНЫ *NmF*2 ОТ СОЛНЕЧНОЙ АКТИВНОСТИ

© 2023 г. М. Г. Деминов^{1, *}, Г. Ф. Деминова¹

¹Институт земного магнетизма, ионосферы и распространения радиоволн им. Н.В. Пушкова РАН (ИЗМИРАН), Москва, Троицк, Россия

*e-mail: deminov@izmiran.ru

Поступила в редакцию 31.01.2023 г. После доработки 20.02.2023 г. Принята к публикации 28.03.2023 г.

На основе данных медиан электронной концентрации максимума F2-слоя NmF2 пары ионосферных станций Боулдер—Хобарт за 1963-2013 гг. проведен анализ зависимости локального индекса годовой асимметрии R в полдень от солнечной активности, где индекс R — отношение январь/июль суммарной концентрации NmF2 для этой пары станций. Использованы средние за 81 день индексы солнечной активности: $F_{\rm obs}$ — плотность потока радиоизлучения Солнца на длине волны 10.7 см, измеренная с помощью наземных радиотелескопов, и $F_{\rm adj}$ — значения $F_{\rm obs}$, приведенные к фиксированному расстоянию от Солнца в одну астрономическую единицу. Получено, что уравнения регрессии, отражающие зависимости медиан NmF2 от $F_{\rm obs}$, позволяют получить индекс годовой асимметрии R для фиксированного $F_{\rm obs}$ с учетом замены $F_{\rm obs}$ на $cF_{\rm obs}$ в этих уравнениях регрессии, где коэффициент c равен 1.03 и 0.97 для января и июля. Вариант c=1 соответствует пренебрежению годовой асимметрией в индексе $F_{\rm obs}$ из-за эллиптичности орбиты Земли. Для варианта c=1 индекс R увеличивается с ростом солнечной активности от 1.2 при низкой до почти 1.4 при высокой активности. Дополнительный учет годовой асимметрии в $F_{\rm obs}$ приводит к увеличению индекса R примерно на 0.1 почти независимо от уровня солнечной активности. Этот вывод получен, по-видимому, впервые. Индекс $F_{\rm adj}$ также позволяет получить корректную оценку индекса R, поскольку годовая асимметрия в потоке солнечного излучения косвенно учтена через экспериментальные значения NmF2.

DOI: 10.31857/S0016794023600060, EDN: OUHBBC

1. ВВЕДЕНИЕ

Годовая асимметрия — это особенность ионосферных явлений, когда глобально усредненная концентрация электронов в январе больше, чем в июле [Rishbeth and Müller-Wodarg, 2006]. В качестве индекса этой асимметрии, например, для концентрации максимума F2-слоя NmF2, используют отношение [Rishbeth and Müller-Wodarg, 2006; Mikhailov and Perrone, 2015]

$$R = NmF2(N + S)_{Jan} / NmF2(N + S)_{July}$$
 (1)

или относительную амплитуду [Rishbeth and Müller-Wodarg, 2006; Brown et al., 2018]

$$AI = (R-1)/(R+1),$$
 (2)

где $NmF2(N+S)_{Jan}$ и $NmF2(N+S)_{July}$ — суммарные (по Северному и Южному полушариям) значения NmF2 в январе и июле в фиксированное местное время. Обычно в этих уравнениях используют средние за месяц или медианы за месяц NmF2 [Rishbeth and Müller-Wodarg, 2006; Mikhailov and Perrone, 2015; Brown et al., 2018]. Ниже использован индекс R для медиан NmF2 за месяц.

Для получения индекса R по данным ионосферных станций обычно выбирают несколько пар ионосферных станций для охвата достаточно большого интервала широт, и каждая из этих пар состоит из станций на близких геомагнитных широтах в Южном и Северном полушариях. Затем последовательно вычисляют локальные индексы R для каждой пары станций и среднее по всем выбранным парам станций значение *R*. Это среднее значение R и есть глобальный индекс R по данным ионосферных станций. Для получения корректной оценки R требуют, чтобы NmF2 соответствовали фиксированному уровню (или интервалу) солнечной активности. На фазах роста и спада солнечного цикла это требование редко удовлетворяется. Поэтому основная доля работ по анализу причин годовой асимметрии в NmF2 выполнена для периодов продолжительной низкой солнечной активности, когда индексы солнечной активности не сильно различались [Zeng et al., 2008: Mikhailov and Perrone, 2015; Lei et al., 2016; Dang et al., 2017].

Для решения этой проблемы можно получить эмпирические зависимости NmF2 от солнечной активности для фиксированного местного времени в январе и июле для каждой из пар анализируемых станций [Деминов и Деминова, 2021, 2023]. Для этого необходим достаточно большой массив данных NmF2 по этим станциям. В результате, для выбранной пары станций может быть определен индекс R для данного часа местного времени при любом фиксированном уровне солнечной активности. Эта методика была реализована для конкретной пары станций: для каждой станции этой пары для каждого месяца года были использованы уравнения регрессии

$$NmF2 = a_0 + a_1 F_{\text{obs}} + a_2 (F_{\text{obs}})^2$$
 (3)

для данного местного времени, где NmF2 — медиана концентрации максимума F2-слоя, $F_{\rm obs}$ — средняя за 81 день (центрированная на середину данного месяца) плотность потока солнечного радиоизлучения на длине волны 10.7 см (индекс F107), измеренная с помощью наземного радиотелескопа. Коэффициенты $a_{\rm j}$ этих уравнений определялись по данным измерений NmF2 и $F_{\rm obs}$ в интервале 40—50 лет. В результате была определена зависимость локального индекса годовой асимметрии R от $F_{\rm obs}$ для выбранной пары станций. Этот вариант вычисления R соответствует случаю, когда значения $F_{\rm obs}$ в январе и июле совпадают [Деминов и Деминова, 2021, 2023].

Для более полного учета вклада солнечного излучения в годовую асимметрию необходимо принять во внимание, что в среднем плотность потока солнечного радиоизлучения (и ионизирующего излучения Солнца) в январе больше, чем в июле, из-за эллиптичности орбиты Земли относительно Солнца. Этот эффект для годовой асимметрии исследовался на основе численного моделирования [Dang et al., 2017], но не был выделен по экспериментальным данным. Главной целью данной работы было решение этой задачи для медианы NmF2 в полдень на средних широтах, т.е. определение свойств локального индекса годовой асимметрии по экспериментальным данным с учетом средней разницы в индексах солнечной активности в январе и июле.

2. РЕЗУЛЬТАТЫ АНАЛИЗА

Для анализа использованы данные медиан foF2 станций Боулдер (Boulder, 40.0° N, 254.7° E, $\Phi = 48.6^{\circ}$ N, $\Phi^* = 49.1^{\circ}$ N) и Хобарт (Hobart, 42.9° S, 147.3° E, $\Phi = 50.9^{\circ}$ S, $\Phi^* = 54.3^{\circ}$ S) для каждого часа мирового времени для января и июля в интервале 1963-2013 гг. В скобках даны координаты этих станций: географическая широта, географическая долгота, геомагнитная широта Φ и исправленная геомагнитная широта Φ^* . Широты Φ и Φ^* приведены для 1985 г., что примерно соответству-

ет середине анализируемого интервала времени. Эти широты получены с помощью моделей, приведенных в Интернете (wdc.kugi.kyoto-u.ac.jp/ig-rf/gggm, omniweb.gsfc.nasa.gov/vitmo). Выбор этой пары станций для анализа локальных свойств годовой асимметрии связан с близостью абсолютных значений как географических, так и геомагнитных широт станций. Следует отметить, что медианы NmF2 данной пары станций совместно с данными других пар станций ранее использовались для анализа глобальных свойств годовой асимметрии [Mikhailov and Perrone, 2015; Brown et al., 2018].

В качестве индикаторов солнечной активности для медианы NmF2 за месяц использованы средние за 81 день (центрированные на середину данного месяца) индексы этой активности: $F_{\rm obs}$ — плотность потока солнечного радиоизлучения на длине волны 10.7 см, измеренная с помощью наземного радиотелескопа; $F_{\rm adj}$ — пересчитанная для среднего расстояния Солнце—Земля (1 астрономическая единица) величина $F_{\rm obs}$; Ri — относительное число солнечных пятен, новая версия. Отметим, что исходными для вычисления этих индексов были ежедневные значения $F107_{\rm obs}$, $F107_{\rm adj}$ и Ri. Дополнительно использован индекс

$$cF_{\rm obs} = 1.03F_{\rm obs}$$
 для января, $cF_{\rm obs} = 0.97F_{\rm obs}$ для июля, (4)

где численные коэффициенты примерно равны отношению $F_{\rm obs}/F_{\rm adj}$ для этих месяцев. Кроме того, использован индекс

$$F_{\rm Ri} = 64 + 0.6Ri + 2.4 \times 10^{-4} Ri^2, \tag{5}$$

где $F_{\rm Ri}$ есть индекс Ri, приведенный к масштабу (шкале) индекса $F_{\rm adj}$. Уравнение (5) является уравнением связи (регрессии) индекса $F_{\rm adj}$ с Ri, коэффициенты которого определены по данным индексов $F_{\rm adj}$ и Ri за 1963—2013 гг.

Перечисленные индексы солнечной активности были использованы для получения зависимостей (уравнений регрессии) медиан NmF2 от каждого из этих индексов. Коэффициенты уравнений регрессии определялись по массиву данных медиан foF2 за 1963-2013 гг. для выбранных условий. При анализе использовались дополнительные ограничения:

$$2 < foF2 < 20 \text{ M}\Gamma\text{H}, 80 < F_{obs} < 220.$$
 (6)

Первое из условий позволяет исключить особенно сильные выбросы foF2, которые могут носить случайный характер. Второе из условий позволяет исключить относительно редко встречающиеся уровни солнечной активности для получения, по возможности, устойчивых тенденций в зависимости концентрации максимума F2-слоя от солнечной активности. Массив данных foF2, полученный с учетом перечисленных условий, был

преобразован в массив данных NmF2, поскольку $NmF2 = 1.24 \times 10^{10} (foF2)^2$, где NmF2 измеряется в $1/m^3$, foF2 - в МГц. Этот массив данных NmF2 был исходным для определения коэффициентов уравнений регрессии, т.е. получения эмпирической модели зависимости медиан NmF2 от перечисленных индексов солнечной активности для выбранных условий. Этими уравнениями регрессии являются уравнение (3) для индекса $F_{\rm obs}$ и уравнения

$$NmF2 = b_0 + b_1 F_{\text{adj}} + b_2 (F_{\text{adj}})^2,$$
 (7)

$$NmF2 = c_0 + c_1 F_{Ri} + c_2 (F_{Ri})^2$$
 (8)

для индексов $F_{\rm adj}$ и $F_{\rm Ri}$. Уравнения (3), (7) и (8) являются эмпирическими моделями зависимости медиан NmF2 от индексов $F_{\rm obs}$, $F_{\rm adj}$ и $F_{\rm Ri}$, коэффициенты которых определены по массивам исходных данных NmF2 и этих индексов. Для получения зависимости медиан NmF2 от индекса $cF_{\rm obs}$ использовано уравнение (3) с известными коэффициентами $a_{\rm j}$, полученными для зависимости NmF2 от индекса $F_{\rm obs}$, в котором произведена замена $F_{\rm obs}$ на $cF_{\rm obs}$, т.е.

$$NmF2 = a_0 + a_1 c F_{\text{obs}} + a_2 (c F_{\text{obs}})^2,$$
 (9)

где cF_{obs} определено уравнением (4).

Перечисленные уравнения регрессии с известными коэффициентами для станций Боулдер и Хобарт в январе и июле позволяют по уравнению (1) получить зависимости индекса годовой асимметрии R от каждого из рассмотренных индексов солнечной активности. Результат показан на рис. 1 в виде зависимостей локального индекса Rот индекса F, где $F = F_{\rm obs}$, $F = F_{\rm adj}$ и $F = F_{\rm Ri}$ для уравнений (3), (7) и (8). В каждом из этих случаев инлекс R вычислен при совпадающих значениях индекса *F* для станций Боулдер и Хобарт в январе и июле. Вариант $cF_{\rm obs}$ на этом рисунке соответствует случаю, когда $F=F_{\rm obs}$, но вычисления проводятся по уравнениям (9) с учетом поправок (4) на индекс $F_{\rm obs}$ для января и июля. Из данных на этом рисунке следует, что индекс годовой асимметрии R минимален для $F = F_{\text{obs}}$. Этот вариант соответствует случаю, когда индекс R для заданного значения F_{obs} вычислен по уравнениям (3) для станций Боулдер и Хобарт в январе и июле для этого заданного значения $F_{\rm obs}$. Индекс R для $F=cF_{\rm obs}$ больше, чем для $F=F_{\rm obs}$, и эта разница примерно равна 0.1 для всего анализируемого интервала изменения $F_{\rm obs}$. Следовательно, дополнительный учет влияния поправок (4) на индекс $F_{\rm obs}$ для января и июля из-за изменения расстояния Солнце-3емля приводит к отчетливому увеличению R.

Из рис. 1 видно, что индексы R для вариантов $F=cF_{\rm obs}$ и $F=F_{\rm adj}$ практически совпадают. Медиана NmF2 соответствует значению NmF2 в кон-

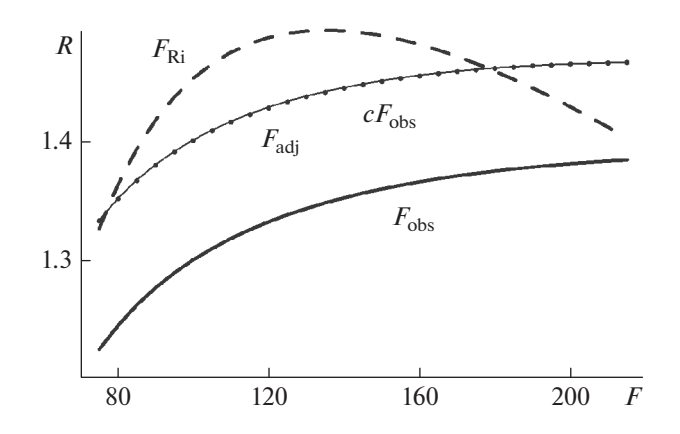


Рис. 1. Зависимости локального индекса годовой асимметрии R от индексов солнечной активности $F_{\rm obs}$ (толстая линия), $cF_{\rm obs}$ (тонкая линия), $F_{\rm adj}$ (точки) и $F_{\rm Ri}$, (штриховая линия) полученные с помощью уравнений регрессии (3), (7)—(9).

кретный день данного месяца (для нечетного числа измерений NmF2 в этот месяц), которому соответствует индекс $F_{\rm adj}$ для этого дня. Численные коэффициенты в уравнении (4) для $cF_{\rm obs}$ примерно равны отношению $F_{\rm obs}/F_{\rm adj}$, которые центрированы на середину данного месяца. В течение месяца величина $F_{\rm obs}/F_{\rm adj}$ изменяется очень слабо. С этим, по-видимому, связано практическое совпадение индексов R для вариантов $F=cF_{\rm obs}$ и $F=F_{\rm adj}$ на рис. 1.

Из рис. 1 следует, что индекс R для $F = F_{\rm Ri}$ больше, чем для $F = F_{\rm obs}$. Индексы R для $F_{\rm Ri}$ и $F_{\rm adj}$ во многом подобны, поскольку они не зависят от времени года, но индекс $F_{\rm Ri}$ является менее точным индикатором солнечной активности, чем $F_{\rm adj}$. Например, для ст. Боулдер в январе в полдень стандартные отклонения σ (в 10^{11} м $^{-3}$) измеренных значений NmF2 от вычисленных по уравнению (7) для $F_{\rm adj}$ составляют 0.8, а для уравнения (8) с индексом $F_{\rm Ri}$ величина σ равна 1.2. Следовательно, относительное число солнечных пятен Ri не является оптимальным индикатором солнечной активности для зависимости индекса годовой асимметрии R от этой активности.

На рис. 2 приведены зависимости медиан NmF2 от солнечной активности в полдень в январе и июле, полученные без учета ($F = F_{\rm obs}$) и с учетом ($F = cF_{\rm obs}$) дополнительной поправки (4) на индекс $F_{\rm obs}$ из-за изменения расстояния Солнце—Земля в эти месяцы года. Учет этой поправки приводит к дополнительному увеличению NmF2 в январе и уменьшению NmF2 в июле. Из данных на рис. 2 следует, что зависимость NmF2 от $F_{\rm obs}$ местной зимой гораздо сильнее, чем летом. Поэтому изменения NmF2 при дополнительном учете поправки (4) максимальны местной зимой:

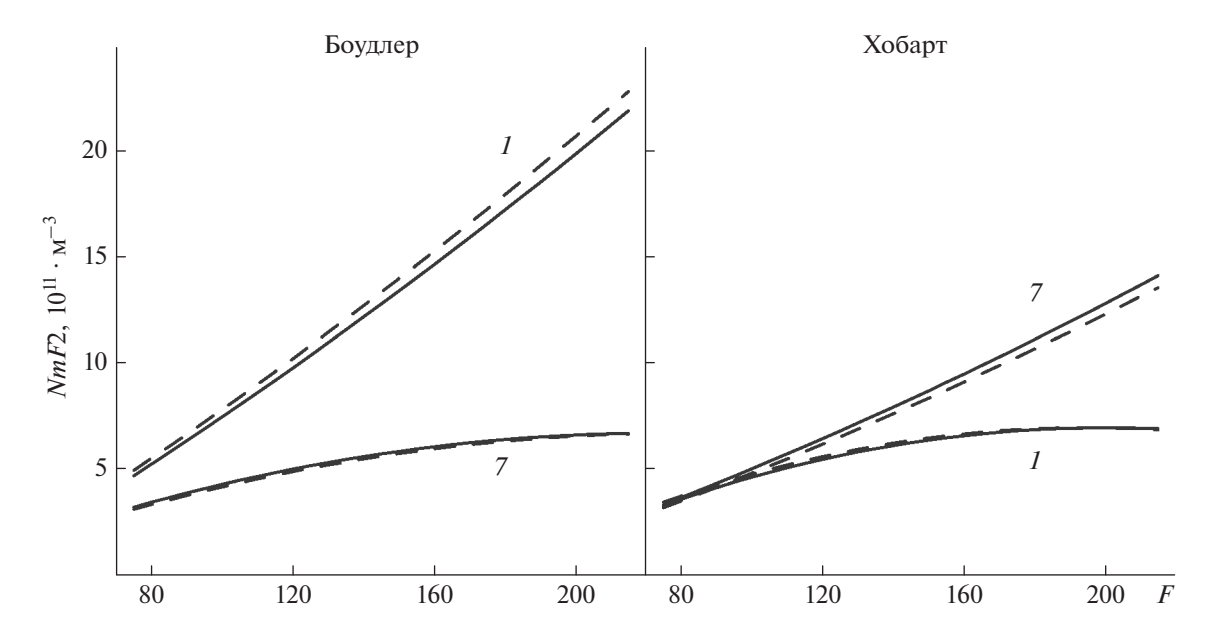


Рис. 2. Зависимости медиан NmF2 в полдень от индексов $F_{\rm obs}$ (сплошные линии) и $cF_{\rm obs}$ (штриховые линии) в январе (1) и июле (7) для станций Боулдер и Хобарт.

увеличение NmF2 в январе в Северном полушарии (Боулдер) и уменьшение NmF2 в июле в Южном полушарии (Хобарт). Для местного лета такие изменения NmF2 обычно можно не учитывать. Следовательно, увеличение индекса годовой асимметрии R при дополнительном учете поправки (4) на индекс $F_{\rm obs}$ обусловлено в основном изменениями NmF2 местной зимой из-за относительной сильной зависимости NmF2 от солнечной активности в этот сезон.

3. ОБСУЖДЕНИЕ

Для любой локальной ионосферной станции зависимость NmF2 от $F_{\rm obs}$ точнее зависимости NmF2 от $F_{\rm adj}$ или $F_{\rm Ri}$, поскольку индекс $F_{
m obs}$ в большей степени соответствует ионизации и нагреву атмосферы из-за ультрафиолетового излучения Солнца. При анализе годовых изменений *NmF*2 необходимо дополнительно учесть среднее изменение $F_{
m obs}$ в течение года с максимумом в январе и минимумом в июле из-за эллиптичности орбиты Земли относительно Солнца. Амплитуда этого изменения незначительна: для фиксированного индекса $F_{\rm adj}$ отношение $(F_{\rm obs})_{\rm Jan}/(F_{\rm obs})_{\rm July}=1.06$ (см. уравнение (4)). Этот эффект можно учесть в два этапа: построить эмпирическую зависимость NmF2 от $F_{\rm obs}$ для каждого месяца года (аналогично уравнению (3)), затем в этой зависимости заменить $F_{\rm obs}$ на $cF_{\rm obs}$ аналогично уравнениям (4) и (9). Следует отметить, что такая замена целесообразна для анализа именно годовых изменений NmF2.

Другой вариант анализа годовых изменений NmF2 связан с построением эмпирической зависимости NmF2 от $F_{\rm adj}$. В индексе $F_{\rm adj}$ исключена поправка на эллиптичность орбиты Земли, но экспериментальные значения NmF2 зависят от этой эллиптичности через ионизацию и нагрев атмосферы, обеспечивая дополнительное увеличение $\mathit{NmF}2$ в январе. Поэтому коэффициенты уравнения регрессии (7) для $F_{\rm adi}$ обеспечивают такое дополнительное увеличение NmF2. В результате, зависимости индекса годовой асимметрии Rот индексов солнечной активности $cF_{
m obs}$ и $F_{
m adj}$ совпадают (рис. 1). Это означает, что в среднем годовые изменения $F_{\rm obs}$ действительно таковы, что они максимальны в январе и минимальны в июле при прочих равных условиях на Солнце, и эти изменения соответствуют уравнению (4) для любого фиксированного $F_{\rm obs}$.

Аналогичным свойством обладает индекс $F_{\rm Ri}$, т.е. в эмпирической зависимости NmF2 от $F_{\rm Ri}$ эллиптичность орбиты Земли косвенно учтена через коэффициенты этой зависимости. Тем не менее, зависимость NmF2 от $F_{\rm Ri}$ является менее точной, чем зависимость NmF2 от $F_{\rm adj}$. Этот вывод согласуется с полученными ранее результатами сопоставления крайнего ультрафиолетового (EUV) излучения Солнца как основного источника ионизации и нагрева термосферы с разными индексами солнечной активности: было получено, что индекс F107 является лучшим индикатором солнечного EUV-излучения для исследования процессов с большими временными масштабами (больше 1.4 года) [Wintoft, 2011].

Годовая асимметрия в *NmF*2 обусловлена эллиптичностью орбиты Земли относительно Солнца

через ионизацию термосферы и процессы нагрева термосферы, включая изменение температуры, плотности и состава термосферы (см., например, [Dang et al., 2017]). В данном случае приведенная на рис. 1 зависимость индекса R от $F_{\rm obs}$ косвенно соответствует учету процессов нагрева термосферы, зависимость индекса R от $cF_{\rm obs}$ – дополнительному учету ионизации термосферы. Из данных на рис. 1 следует, что вклад процессов нагрева термосферы в индекс R значителен: R изменяется от 1.22 при низкой до 1.38 при высокой солнечной активности по индексу $F_{\rm obs}$. Дополнительный учет изменения скорости ионизации термосферы из-за эллиптичности орбиты Земли приводит к увеличению индекса *R* примерно на 0.1. Более наглядно об этих изменениях можно судить по индексу AI(см. уравнение (2)). В данном случае вклад процессов нагрева термосферы дает значения AI от 10% до 16% при низкой и высокой солнечной активности соответственно. Дополнительный учет изменения скорости ионизации термосферы изза эллиптичности орбиты Земли приводит к увеличению индекса AI примерно на 5%, что в 2-3 раза меньше вклада процессов нагрева термосферы в годовую асимметрию NmF2. Этот вывод не противоречит результатам численного моделирования годовой асимметрии NmF2 при низкой солнечной активности: вклад прямой ионизации атомного кислорода дает AI = 6%, вклад рекомбинации с нейтральными частицами дает AI = 12-15% [Dang et al., 2017].

4. ЗАКЛЮЧЕНИЕ

На основе данных медиан электронной концентрации максимума F2-слоя NmF2 пары ионосферных станций Боулдер-Хобарт за 1963-2013 гг. проведен анализ зависимости локального индекса годовой асимметрии R в полдень от солнечной активности, где индекс R — отношение январь/ июль суммарной концентрации NmF2 для этой пары станций. В качестве индикаторов солнечной активности для медианы NmF2 за месяц использованы средние за 81 день индексы этой активности, которые центрированы на середину данного месяца: $F_{\rm obs}$ — плотность потока радиоизлучения Солнца на длине волны 10.7 см, измеренная с помощью наземных радиотелескопов; $F_{\rm adi}$ значения $F_{\rm obs}$, приведенные к фиксированному расстоянию 1 астрономическая единица от Солнца; Ri — относительное число солнечных пятен, новая версия. Получены следующие выводы.

1. Уравнения регрессии, отражающие зависимости медиан NmF2 от $F_{\rm obs}$, позволяют получить индекс годовой асимметрии R для фиксированного $F_{\rm obs}$ с учетом замены $F_{\rm obs}$ на $cF_{\rm obs}$ в этих уравнениях регрессии, где коэффициент c равен 1.03 и 0.97 для января и июля. Вариант c=1 соответ-

ствует пренебрежению годовой асимметрией в индексе $F_{\rm obs}$ из-за эллиптичности орбиты Земли. Для варианта c=1 индекс R увеличивается с ростом солнечной активности от 1.2 при низкой до почти 1.4 при высокой активности. Дополнительный учет годовой асимметрии в $F_{\rm obs}$ приводит к увеличению индекса R примерно на 0.1 почти независимо от уровня солнечной активности. Этот вывод по экспериментальным данным NmF2 получен, по-видимому, впервые.

- 2. Уравнения регрессии, отражающие зависимости медиан NmF2 от $F_{\rm adj}$, позволяют получить индекс R для фиксированного $F_{\rm adj}$, в котором косвенно учтена годовая асимметрия в потоке солнечного излучения через асимметрию январь—июль в экспериментальных значениях NmF2. В результате, индекс R для фиксированного индекса $F_{\rm obs}$ с учетом замены $F_{\rm obs}$ на $cF_{\rm obs}$ и индекс R для фиксированного $F_{\rm adj} = F_{\rm obs}$ практически совпалают.
- 3. Зависимость индекса R от относительного числа солнечных пятен Ri во многом подобна зависимости R от $F_{\rm adj}$, но индекс Ri является менее точным индикатором солнечной активности, чем $F_{\rm adj}$. Поэтому индекс Ri не является оптимальным индикатором солнечной активности для зависимости годовой асимметрии в NmF2.

БЛАГОДАРНОСТИ

Данные критических частот foF2 станций Боулдер и Хобарт и индексы солнечной активности были взяты с сайтов Space Physics Interactive Data Resource (SPIDR, http://spidr.ngdc.noaa.gov/, до 2015 года), World Data Center for Solar-Terrestrial Physics, Chilton (http://www.ukssdc.ac.uk/wdcc1/) и Solar Influences Data Analysis Center (SIDC, http://sidc.oma.be/silso/).

ФИНАНСИРОВАНИЕ РАБОТЫ

Исследование выполнено при частичной поддержке Российского научного фонда в рамках научного проекта № 20-72-10023.

СПИСОК ЛИТЕРАТУРЫ

- Деминов М.Г., Деминова Г.Ф. Зависимость локального индекса годовой асимметрии для NmF2 от солнечной активности // Геомагнетизм и аэрономия. Т. 61. № 2. С. 224—231. 2021.
- https://doi.org/10.31857/S001679402102005X
- Деминов М.Г., Деминова Г.Ф. Зависимость локального индекса годовой асимметрии для NmF2 от местного времени и солнечной активности // Геомагнетизм и аэрономия. Т. 63. № 2. С. 147-153. 2023. https://doi.org/10.31857/S0016794022600636
- Brown S., Bilitza D., Yigit E. Improvements to predictions of the ionospheric annual anomaly by the international ref-

- erence ionosphere model // Ann. Geophys. Discuss. 2018. https://doi.org/doi:10.5194/angeo-2018-97
- Dang T., Wang W., Burns A., Dou X., Wan W., Lei J. Simulations of the ionospheric annual asymmetry: Sun-Earth distance effect // J. Geophys. Res. Space. V. 122. № 6. P. 6727—6736. 2017.
- https://doi.org/10.1002/2017JA024188
- Lei J., Wang W., Burns A.G., Luan X., Dou X. Can atomic oxygen production explain the ionospheric annual asymmetry? // J. Geophys. Res. Space. V. 121. № 7. P. 7238—7244. 2016. https://doi.org/10.1002@2016JA022648
- *Mikhailov A.V., Perrone L.* The annual asymmetry in the *F*2 layer during deep solar minimum (2008–2009): December anomaly // J. Geophys. Res. − Space. V. 120. № 2. P. 1341–1354. 2015.
- https://doi.org/10.1002/2014JA020929

- *Rishbeth H., Müller-Wodarg I.C.F.* Why is there more ionosphere in January than in July? The annual asymmetry in the *F*2-layer // Ann. Geophys. V. 24. № 12. P. 3293—3311. 2006.
- https://doi.org/10.5194/angeo-24-3293-2006
- *Wintoft P.* The variability of solar EUV: A multiscale comparison between sunspot number, 10.7 cm flux, LASP MgII index, and SOHO/SEM EUV flux // J. Atmos. Sol.-Terr. Phy. V. 73. № 13. P. 1708—1714. 2011. https://doi.org/10.1016/j.jastp.2011.03.009
- Zeng Z., Burns A., Wang W., Lei J., Solomon S., Syndergaard S., Qian L., Kuo Y.-H. Ionospheric annual asymmetry observed by the COSMIC radio occultation measurements and simulated by the TIEGCM // J. Geophys. Res. —
- https://doi.org/doi:10.1029/2007JA012897

Space. V. 113. A07305. 2008.